

## پترولوزی سنگ‌های آتشفشاری شمال غرب مشکین شهر

صدرالدین امینی<sup>\*</sup>، لیلا شیدایی

گروه زمین‌شناسی، دانشکده علوم، دانشگاه تربیت معلم تهران، تهران، ایران

<sup>\*</sup> مسئول مکاتبات-آدرس الکترونیکی: [amini@tmu.ac.ir](mailto:amini@tmu.ac.ir)

(دریافت: ۸۴/۵/۴؛ پذیرش: ۸۴/۹/۱۵)

### چکیده

منطقه مورد مطالعه در استان اردبیل و در بخش شمال غرب شهرستان مشکین شهر قرار گرفته و سنگ‌های پتاسیک آن شامل انواع متفاوتی می‌باشد که در برخی نقاط دیگر زون آذربایجان نیز شناخته شده است. سن سنگ‌های منطقه ائوسن میانی (میوسن؟) می‌باشد. سنگ‌های پتاسیک حاوی لوسيت شامل گروههای سنگی لوسيتیت، تفریت و تفریت فنولیتی می‌باشد. لوسيت که کانی شاخص در این سنگها می‌باشد در اندازه‌های بسیار ریز تا بسیار درشت وجود دارد. این سنگها از عناصر HFS غنی بوده و از عناصر LIL تهی شده است. پدیده ای که در منطقه قابل توجه و حائز اهمیت می‌باشد، دگرسانی شدید و وسیعی است که باعث شده تغییرات بسیار زیادی در سنگ‌های منطقه و مخصوصاً انواعی که استعداد بیشتری برای دگرسانی داشته‌اند، رخ دهد. دگرسانی سه زون آرژیلیک، آلونیتی و سیلیسی را به وجود آورده است.

واژه‌های کلیدی: سنگ‌های آذرین پتاسیک، لوسيت، پترولوزی، مشکین شهر.

قبل کرتاسه وجود ندارد و سنگ‌های رسوبی در این منطقه محدود به تراوترن‌های کواترنر است که در دهانه چشمدهای آبرگرمی-که از فراوانی زیادی برخوردار هستند- شکل می‌گیرند.

در این منطقه فعالیت‌های ماقمایی از پایان کرتاسه با فوران ترکیباتی در حد آندزیت تا تراکی آندزیت آغاز شده و تا نفوذ توده‌های گرانیتوئیدی ادامه یافته است. پس از این دوره مجدداً با وقفه‌ای نسبتاً کوتاه، فوران‌های متوالی موجب تشکیل کوه سبلان شده است (درویشزاده، ۱۳۷۰).

در منطقه مورد مطالعه سنگ‌های پتاسیک بصورت خروجی ظهور یافته‌اند و در فاصله‌ای دورتر (در نزدیکی شهر کلیبر) بصورت توده‌های نفوذی نفلین سینینیت (باباخانی، ۱۳۶۰) و در فاصله بیشتری (نزدیکی دریاچه ارومیه) در جزیره سارای به صورت خروجی حضور دارند (خلیلی مرندی، ۱۳۷۰).

در واقع علت اصلی خروج ولکانیک‌های پس از کرتاسه در این منطقه فاز کششی است که پس از فاز کوهزایی لارامید در اوخر کرتاسه بر منطقه حاکم گردیده است (معین وزیری، ۱۳۷۵).

در مطالعات تکتونیکی منطقه گسل‌هایی قابل شناسایی هستند که این گسل‌ها اغلب روند شمال غرب-جنوب شرق دارند و چون عوامل بسیاری (مثل دگرسانی‌های شدید) بر این گسل‌ها اثر کرده‌اند، نمی‌توان به سادگی محل این گسل‌ها را در روی زمین تشخیص داد. گسل‌ها در این منطقه محل نفوذ توده‌های نفوذی است و در امتداد آنها

### مقدمه

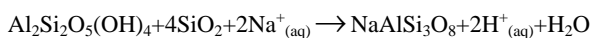
منطقه مورد که جزوی از زون ساختاری آذربایجان می‌باشد، اکثر قسمت‌های آن را سنگ‌های آتشفشاری دوران سوم تشکیل داده‌اند. نمونه‌هایی که بیشتر مورد نظر ما در این مطالعه بودند، سنگ‌های پتاسیکی بودند که در منطقه شمال‌غرب ایران گزارشاتی از آنها وجود دارد. سنگ‌های پتاسیک چون از انواع سنگ‌های آتشفشاری بسیار نادر هستند که تحت شرایط خاص به وجود می‌آیند، می‌توانند راهنمای بسیار خوبی برای مطالعات زمین‌شناسی در منطقه باشند. بطور کلی سنگ‌های پتاسیک به چهار گروه تقسیم می‌شوند که با بررسی‌های پتروگرافی و انجام آنالیزهای شیمیایی (XRF) از سنگ‌های این منطقه، مشخص شد که در سنگ‌های این منطقه در گروه پلازیولوسيتیت قرار دارند.

### زمین‌شناسی عمومی

راههای دسترسی به منطقه جاده اصلی مشکین شهر- اهر و مشکین شهر- اردبیل می‌باشد و یک سری راههای فرعی نیز وجود دارد که روستاهای این منطقه را به یکدیگر مرتبط می‌سازد این منطقه در شمال غرب ایران در زون ساختاری آذربایجان قرار گرفته است. منطقه بطور دقیق در استان اردبیل در عرض‌های  $38^{\circ} 22'$ - $38^{\circ} 45'$  و طول‌های جغرافیایی  $47^{\circ} 45'$ - $47^{\circ} 15'$  واقع شده است. بطور کلی در منطقه مورد مطالعه بروزدی از سنگ‌های مربوط به

با ترکیب شدن با آبهای زیرزمینی به  $H_2SO_4$  تبدیل شده و با واکنش با فلزسپاتها آنها را به آلونیت تبدیل می‌کند. با توده به این مطلب می‌توان منشا آلونیت را در منطقه هیپوژن دانست.

در زون آرژیلیکی بطور کلی کانیهای شاخص کائولینیت، دیکیت، دیاسپور و پیروفیلیت می‌باشد. حضور یا عدم حضور هر یک از این کانیها بستگی به دمای محلول و ترکیب شیمیایی سیال و سنگ اوپله دارد. در داسیت‌هایی که متتحمل این نوع دگرسانی شده‌اند، کانیهای فلزسپات آلکالن کاملاً تبدیل به کانیهای رسی شده‌اند و رنگ آنها معمولاً سفید تا زرد می‌باشد.



برای تشکیل زون آرژیلیتی سه منشا هیپوژن کم عمق، هیپوژن عمیق و سوپرژن را پیشنهاد کرده‌اند. در نوع اول که هیپوژن کم عمق است، دلیل تشکیل این زون لیچینگ اسیدی است که ناشی از متراکم شدن و جذب بخارات جوشیده و اکسیداسیون گاز  $H_2S$  می‌باشد. در نوع دوم یا هیپوژن عمیق علت دگرسانی متراکم شدن بخارات ماقمایی اسیدی است که در آب جوی حل می‌شود. دگرسانی را زمانی با منشا سوپرژن معروفی می‌کند که سولفیدها در بالای سطح ایستابی دچار اکسیداسیون گردند. در منطقه مورد مطالعه طبق شواهد موجود دگرسانی از نوع هیپوژن کم عمق می‌باشد.

### پتروگرافی

در مطالعات صحرایی سنگ‌هایی که در آنها بلور لوسيت وجود دارد توپوگرافی ملایمی دارند و در این توده‌ها بلورهای درشت لوسيت با رنگ سفید در زمینه تیره به سادگی قابل تشخیص هستند.

سنگ‌های منطقه را به دو دسته تقسیم می‌کنیم: دسته اول فاقد لوسيت هستند و دسته دوم انواعی را شامل است که حاوی لوسيت می‌باشند.

انواعی که لوسيت در آنها وجود ندارد شامل بازالت، آندزیت بازالتی، آندزیت، تراکیت و داسیت می‌باشد.

سنگ‌های لوسيت دار را می‌توان به سه گروه لوسيتیت، تفریت و تفریت فنولیتی دسته بندی کرد.

بازالت‌های برداشت شده از منطقه دارای رنگ بسیار تیره بوده و اغلب سیاه رنگ هستند. در برخی از این سنگها آثاری از انکلاو دیده می‌شود. از نظر مشخصات میکروسکوپی در بازالتها بافت اصلی پورفیری بوده و در برخی از نمونه‌ها نیز به صورت فرعی بافت گلومروپورفیری و بافت Seriate قابل تشخیص است. در این سنگها کانیهای اصلی پلاژیوکلاز کلسیک و کلینو پیروکسن اوژیت (شکل ۱ و ۲) است. آثاری از مقادیر بسیار کم الیوین در این سنگها وجود دارد.

دگرسانی بسیار شدیدی نیز رخ داده است و این دگرسانی توانسته منابع عظیمی از کاٹولن و آلونیت در منطقه به وجود آورده که در برخی مناطق این توده‌ها دارای خلوص زیادی هستند و دارای ارزش اقتصادی می‌باشند.

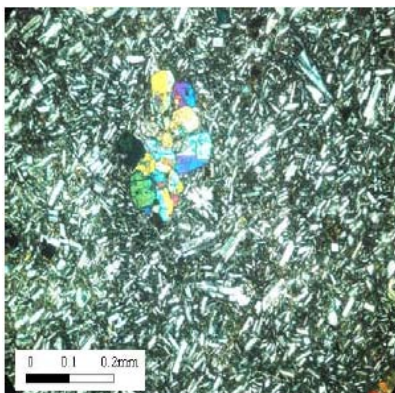
### دگرسانی منطقه

دگرسانی شدیدی که در منطقه مورد مطالعه دیده می‌شود در محدوده وسیعی رخ داده که می‌توان گفت کل البرز غربی را درگیر کرده است. شدت آلتراسیون در این منطقه به علت فعالیت سیالاتی که از توده‌های نفوذی و از خلال شکاف گسل‌های منطقه خارج می‌شوند بسیار شدید می‌باشد و از بالا به پایین سه زون سیلیسی، آلونیتی و آرژیلیک در سنگ‌های منطقه شکل گرفته است.

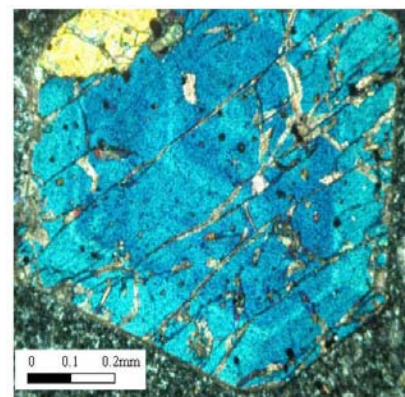
در زون سیلیسی، افزایش سیلیس یا با مهاجرت عناصر موجود در سنگ و باقی ماندن سیلیس ایجاد می‌گردد و یا به واسطه اضافه شدن سیلیس به سنگ توسط محلولهای ماقمایی و گرمایی شکل می‌گیرد. سیلیس می‌تواند توسط محلولها حمل شده و در شرایط مناسب ته نشست گردد. روی فرایند ته نشینی سیلیس، عواملی چون کاهش فشار، حرارت و PH محلول موثر هستند (کریم پور ۱۳۸۰). محلول باید اشباع از سیلیس باشد تا بتواند طی سرد شدن آرام بلورهای درشت کوارتز و طی سرد شدن سریع بلورهای کرپیتوکریستالین کوارتز را ته نشست کند. این زون در بسیاری از مناطق در شمال مشکین شهر در قله ارتفاعات به چشم می‌خورد. این کوارتها بصورت جانشینی و پرکننده حفرات هستند. در منطقه مورد مطالعه غیر از کوارتز کانی دیگری که از فراوانی بالایی برخوردار است اوپال است که به رنگ‌های قرمز و زرد دیده می‌شود.

زون آلونیتی زمانی شکل می‌گیرد که محلولهای گرمایی غنی از سولفات در شرایط اکسیدان و دمای کمتر از ۳۰۰ درجه سانتیگراد سنگ‌های غنی از K, Al را هیدرولیز کرده و آن را به آلونیت تبدیل می‌نمایند. این زون می‌تواند در زون آرژیلیک و سرسیتیک نیز تشکیل شود. کانیهای مهم در این زون آلونیت، کوارتز، کلسونی و اپال است. گاهی با این گروه کائولینیت و دیاسپور نیز می‌تواند همراه باشد. علت اصلی تشکیل آلونیت را افزایش غلظت  $SO_4^{2-}$  می‌دانند. دگرسانی آلونیتی در اکثر کانسارهای طلا و نقره نوع اپی ترمال که در سنگ‌های آتشفسانی قرار دارند، شکل می‌گیرد. این زون معمولاً در میان زون سیلیسی در بالا و زون آرژیلیک در پایین قرار می‌گیرد. از نظر فرم شکل‌گیری آلونیتها را به سه دسته رگه‌ای، گرهکی و جانشینی تقسیم می‌کنند در این منطقه گسل‌هایی که در ارتباط با توده‌های ساب ولکانیک می‌باشند در اطراف خود دگرسانی شدید و مخصوصاً آلونیتی را ایجاد کرده‌اند چرا که از این توده گاز  $H_2S$  در هنگام صعود

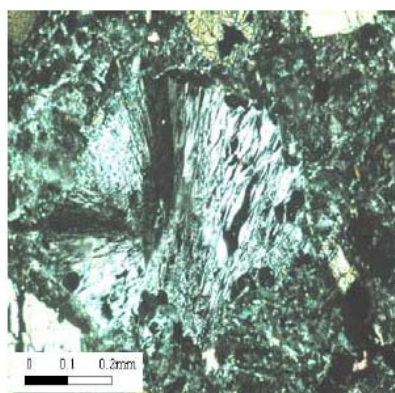
می‌باشد، گاهی بافت گلومروبورفیری به عنوان بافت ثانوی شکل گرفته است. اصلی ترین و فراوان ترین کانی (بیشتر از ۶۰٪) در این سنگها پلاژیوکلازهای آندزین تا لابرادور می‌باشند (شکل ۶). کلینوپیروکسنها از نوع اوژیت هستند مقدار بسیار کمی آمفیبول از نوع هورنبلند وجود دارد که این کانی اغلب سوخته و حاشیه آن اکسید و داخل آن بیوتیت تشکیل شده است (شکل ۷).



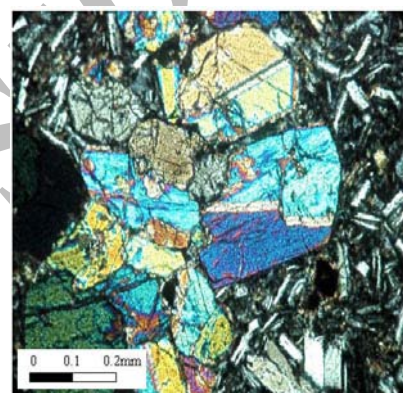
شکل ۳- بافت گلومروبورفیری در آندزیت بازالتی نزدیکی روستای دوست بیگلو- نور XPL.



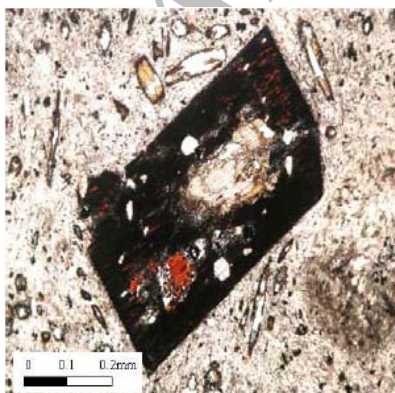
شکل ۱- زونینگ در مقطع عرضی بلور درشت و شکلدار کلینوپیروکسن اوژیتی که در زمینه سنگ بازالتی قرار دارد. نمونه مربوط به نزدیکی روستای جبدرق است. نور XPL.



شکل ۴- بلور زئولیت (ناترولیت) محصول دگرسانی که در نمونه سنگ آندزیت بازالتی در نزدیکی روستای دوست بیگلو شکل گرفته است. نور XPL.



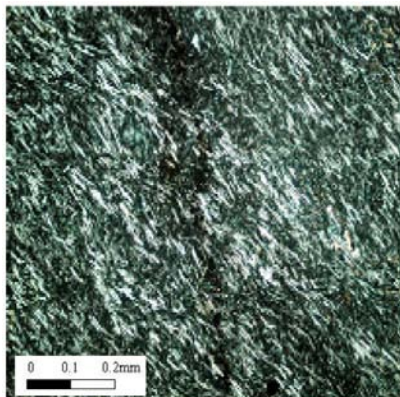
شکل ۲- بلورهای ماکلدار پیروکسن (اوژیت) که بافت گلومروبورفیری را در نمونه بازالت در نزدیکی روستای جبدرق تشکیل داده اند- نور XPL.



شکل ۵- بلورهای بیوتیت حاصل از تجزیه آمفیبولها در نمونه آندزیت بازالتی- نور XPL.

آنزیت‌های بازالتی که بسیار نزدیک به بازالت هستند در نمونه دستی به رنگ‌های سبز تیره و سیاه و بطور کلی بسیار تیره دیده می‌شوند. بسیار صخره ساز بوده و در سطح تازه که دچار دگرسانی و هوازدگی نشده است، بلورهای درشت کلینوپیروکسن با رنگ سیاه و منشورهای هشت وجهی آنها به خوبی قابل تشخیص می‌باشد. در همه این سنگها بافت پورفیری بافت اصلی بوده و در برخی از نمونه‌ها نیز به صورت فرعی بافت گلومروبورفیری قابل تشخیص است (شکل ۳). کانی‌های اصلی این سنگها پلاژیوکلاز، پیروکسن اوژیتی می‌باشد که این دو کانی فنوکریستهای زمینه را نیز تشکیل می‌دهند. کانیهای ثانویه حاصل از تجزیه شامل انواع زئولیتها (شکل ۴)، اپیدوت‌های بسیار ریز و کلسیت و کانیهای اپک، اکسید آهن می‌باشد آثاری از بیوتیت‌هایی که محصول تجزیه آمفیبولها می‌باشند نیز در این سنگها دیده می‌شود (شکل ۵). آندزیتها که گروه سوم سنگ‌های بدون لوسیت را تشکیل می‌دهند در روی زمین رنگ تیره، سبز تیره تا سیاه دارند پلاژیوکلاز با چشم غیر مسلح به سادگی قابل تشخیص است اندازه آنها گاهی به حدود ۵ سانتی متر می‌رسد. بافت غالب پورفیری

سنگها پلازیوکلازهای آلبیت تا الیگوکلاز است. کانیهای ثانوی شامل اکسید آهن و مقدار کمی کلسیت و اپیدوت است.



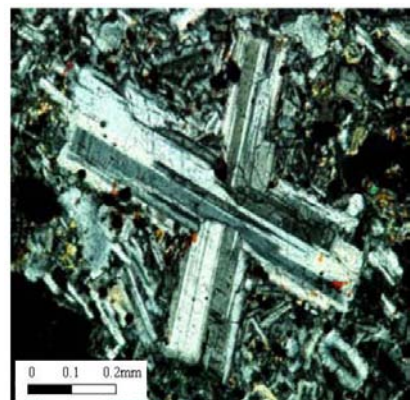
شکل ۶- نمونه تراکیت دارای بافت جریانی در نزدیکی روستای صاحب دیوان - نور XPL.

داسیت‌های منطقه در مشاهدات صحرایی -که بروونزد بسیار محدودی دارند- با رنگ روشن قابل تشخیص می‌باشند (شکل ۱۰)، دگرسانی باعث شده که سطح آنها روشن تر از رنگ واقعی آنها باشد و در کل رنگ اصلی آنها از خاکستری تا کرم متغیر می‌باشد. با چشم غیر مسلح در این سنگها فلدوپاتها کاملاً قابل تشخیص می‌باشند.

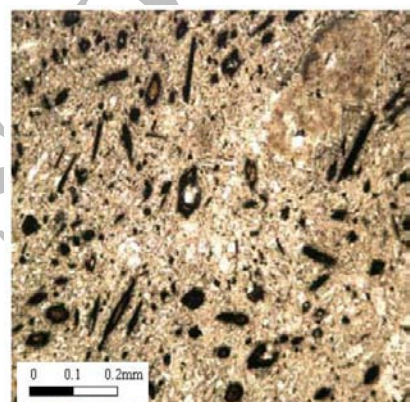


شکل ۱۰- منظره ای از داسیت‌های منطقه که آلتره نیز شده اند. - اطراف روستای مشیران.

بافت اصلی در این سنگها پورفیری است که در آنها پورفیرها را فلدوپاتها تشکیل می‌دهند. زمینه کاملاً شیشه‌ای نیست و حداقل شیشه ۳۰٪ می‌باشد و بقیه زمینه را میکرولیتهای پلازیوکلاز که از الیگوکلاز تا آندزین متغیر می‌باشند، تشکیل داده‌اند. کانیهای اصلی در این سنگها پلازیوکلاز و بیوتیت می‌باشد، که علاوه بر اینها کوارتز بسیار ریز بلور و فلدوپات سانیدین درشت بلور نیز (شکل ۱۱) در برخی مقاطع قابل تشخیص است.



شکل ۶- ماکل صلیبی پلازیوکلاز در آندزیت نزدیکی روستای کوچنق-نور XPL.



شکل ۷- سوزنهای سوخته آمفیبول در آندزیت نزدیکی روستای کوچنق. نور NPL.

تراکیت‌های منطقه اغلب بصورت نک‌های کاملاً محدود بروونزد دارند (شکل ۸). آلتراسیون کمی را تحمل کرده‌اند ارتفاعات منطقه را مخصوصاً در غرب صاحب دیوان ساخته‌اند درون سیاری از این تراکیت‌ها انکلاوهای دیده می‌شود که قطر آنها بین ۱۰-۱۵ سانتی‌متر می‌باشد. جنس انکلاوهای با خود سنگ یکسان است و رنگ انکلاوهای دلیل مقدار بیشتر اکسید آهن با رنگ زمینه تفاوت داشته و رنگ قرمز تیره‌ای دارند.

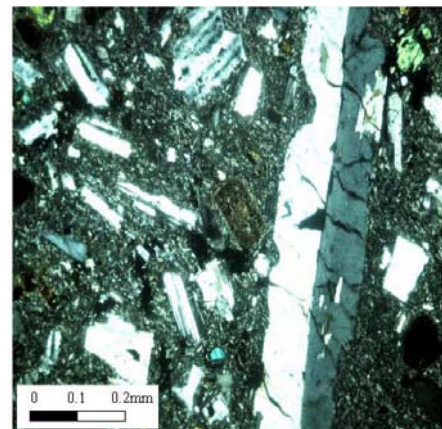


شکل ۸- نک تراکیتی در نزدیکی روستای صاحب دیوان.

بافت غالب این سنگها بافت جریانی می‌باشد (شکل ۹) که در درجه دوم بافت Seriate را می‌توان به این سنگها نسبت داد در برخی از تراکیت‌ها که بافت پورفیری شکل گرفته است. کانی اصلی در این



شکل ۱۲- تپوگرافی نیمه مرتفع لوسيتیت ها - روستای یوسف خانکندی.



شکل ۱۱- نمونه داسیت دارای بافت پورفیری و درشت بلور سانیدین - نور XPL



شکل ۱۳- بلورهای درشت و سفید لوسيت در سنگ لوسيت.



شکل ۱۴- بلورهای ایزوله درشت لوسيت.

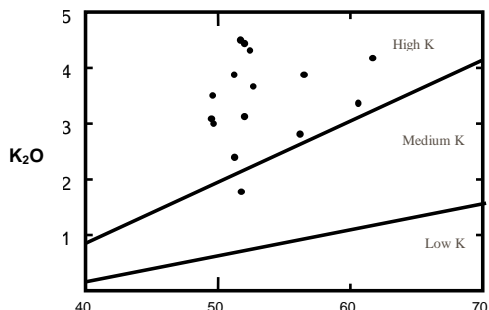


شکل ۱۵- بلورهای درشت، ایزوله و شکلدار لوسيت.

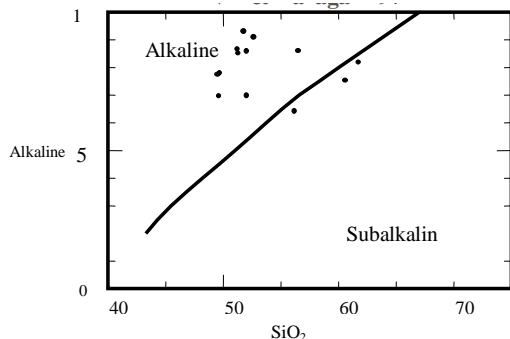
کانیهای فرعی را اپیدوت، بیوتیت، آمفیبول در حال تجزیه به بیوتیت و کانیهای اپک که اکسید آهن می‌باشد، تشکیل می‌دهند. اعضای گروه دوم یعنی سنگ‌هایی که دارای لوسيت هستند، لوسيتیت‌ها و تفریت‌ها و تفریت‌های فنولیتی می‌باشند. لوسيت‌ها تپوگرافی خیلی مرتفع و صخره ساز ندارند (شکل ۱۲) و بلورهای درشت لوسيت را می‌توان در آمها تشخیص داد که دارای رنگ سفید بوده و در زمینه بسیار تیره این سنگها با اندازه بسیار بزرگ - در حد ۴ تا ۵ سانتی متر - نمایان است (شکل ۱۳). دگرسانی در این نوع سنگها آنقدر شدید عمل کرده است که با دگرسانی شدید زمینه بلورهای درشت لوسيت در واریزهای ایجاد شده به صورت ایزوله و کاملاً شکلدار پراکنده‌اند (شکلهای ۱۴ و ۱۵). بافت غالب در این سنگها پورفیری می‌باشد، بافت پوئی کیلیتیک (قرارگیری بلورهای ریز پلازیوکلаз) با دو نوع نظم رادیال و بی نظم - در زمینه بلور درشت لوسيت (شکل ۱۶) و بافت Seriate به عنوان بافت ثانوی شکل گرفته است. نظم رادیالی که در لوسيت‌ها شکل می‌گیرد به دلیل گیر افتادن بلورهای ریز پلازیوکلاز در حلقه‌های رشد لوسيت می‌باشد که بلورهای درشت پلازیوکلاز توانسته اند از آن فرار کنند و گیر نیافتاده‌اند (Dana 1971). اصلی ترین و فراوانترین کانی (بیشتر از ۶۰٪) در این سنگها لوسيت می‌باشد. شیمی پلازیوکلازها از آندزین تا لابرادور متغیر می‌باشد. کلینوپیروکسنها از نوع اوپیت هستند و مقدار بسیار کمی آمفیبول از نوع هورنبلند وجود دارد که این کانی اغلب تجزیه شده و حاشیه آن اکسید شده و داخل بلور بیوتیت تشکیل شده است.

تفریت‌های لوسيت دار در روی زمین رنگ خاکستری تیره دارند که در آن بلورهای ریز لوسيت و بلورهای تیره پیروکسن با چشم غیر مسلح دیده می‌شوند این سنگها در سطح زمین مورفلوژی ملایمی داشته و صخره‌های نوک تیزی را تشکیل نمی‌دهند. آثار دگرسانی در این سنگها نیز مشاهده می‌شود.

گرفته‌اند، تقریباً می‌توان گفت که سنگ‌های منطقه آلکالن محسوب می‌شوند. در شکل (۱۹) مشاهده می‌شود که تمام نمونه‌ها در روی این شکل در محدوده High Potassic قرار گرفته‌اند.



شکل ۱۸- نمودار مجموع آلکالن در برابر سیلیس برای تعیین سری ماگمایی- (Irvin & Baragar 1971).



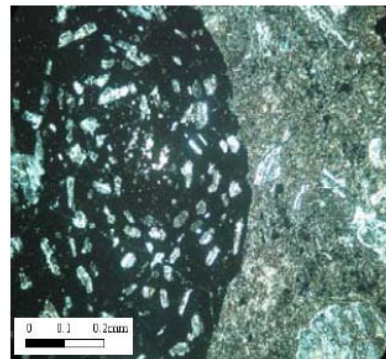
شکل ۱۹- نمودار پتاسیم در برابر سیلیس برای سنجش پتاسیک بودن سنگها- (LeMaitre et al. 1989).

اگر سنگی دارای مقدار K<sub>2</sub>O بیشتر از ۳ درصد وزنی باشد، مقدار منیزیم بیشتر از ۳ درصد وزنی و مقدار کروم و نیکل نیز به اندازه سنگ‌های بازیک بالا باشد، می‌توانیم آن سنگ را پتاسیک بدانیم. (Foley et al. 1987, Foley et al. 1992)

### مطالعه نمودارهای هارکر

با پلات مقدار FeO<sub>e</sub> در برابر سیلیس شکل (۲۰) نظم کاهش آهن با افزایش سیلیس به خوبی مشخص است. کانی فرومینیزینی که در ابتدا داخل این سنگها شکل شده الیوین و بعد کلینوپیروکسن و در درجه دوم هورنبلند است که این مقدار آهن را مصرف کرده‌اند و سیر نزولی را برای آهن ساخته‌اند.

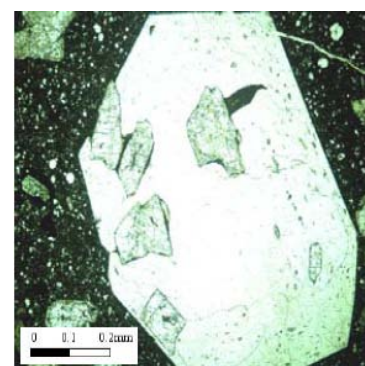
در نمودار منیزیم که در شکل (۲۱) نشان داده شده است، چون منیزیم از عناصری است که در همان ابتدای تفریق وارد شبکه کانیهای حرارت بالایی مثل الیوین و پیروکسن می‌شود، بنابراین در تبلور تفریقی نسبت MgO به SiO<sub>2</sub> روند نزولی در تمام سنگ‌های منطقه قابل تشخیص است.



شکل ۱۶- ادخالهای رادیال در بلور لوسيت- نور XPL

بافت غالب پورفیری می‌باشد، گاهی بافت گلومروپورفیری (تجمع بلورهای کلینوپیروکسن در کنار یکدیگر در زمینه سنگ) به عنوان بافت ثانوی شکل گرفته است. غیر از لوسيت‌های درشت بلور فنوکریست بعدی که فراوانی زیادی نیز دارد کلینوپیروکسن‌هایی هستند که دارای ماکل، زونینگ و نیز پلئوکروئیسم می‌باشند.

در تفریت‌های فنولیتی بلورهای سفید و بسیار ریز لوسيت را می‌توان با چشم غیر مسلح به سادگی تشخیص داد. به دلیل فراوانی پیروکسن رنگ تیره از خاکستری تا سیاه دارند بافت غالب پورفیری می‌باشد، گاهی بافت گلومروپورفیری به عنوان بافت ثانوی شکل گرفته است. بلورهای اصلی پلاژیوکلازها هستند کلینوپیروکسن کانی اصلی دیگر در این سنگها می‌باشد که دارای زونینگ می‌باشند. ماکل دوتایی در اغلب این پیروکسن‌های شکل دار دیده می‌شود. بلورهای لوسيت غالباً شکل دار بوده (شکل ۱۷) و در برخی بلورها آثار بسیار ضعیفی از ماکل پریکلین دیده می‌شود. کانیهای ثانویه شامل کلسیت و اپیدوت و زئولیت است که از تجزیه سایر کانیها به وجود آمده‌اند.

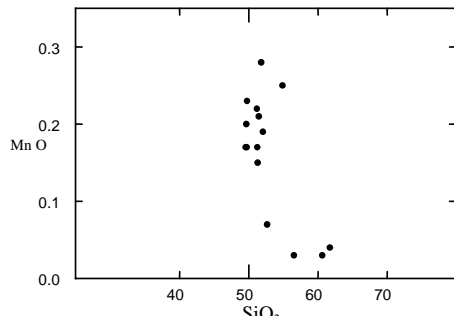


شکل ۱۷- اندازه بسیار متفاوت بلورهای لوسيت در نمونه تفریت فنولیتی- این تفاوت زیاد در اندازه در سایر کانیهای سنگ نیز دیده می‌شود- نور NPL

### ژوشیمی

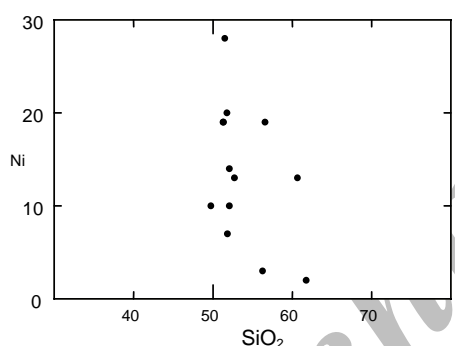
سنگ‌های منطقه مورد مطالعه که دارای ماهیت آلکالن هستند (شکل ۱۸)، در دسته سنگ‌های بازیک تا اولترابازیک قرار می‌گیرند. با صرفنظر از سه نمونه‌ای که در محدوده مرز ساب آلکالن و آلکالن قرار

مشاهده می‌گردد. در نمودار  $\text{MnO-SiO}_2$  (شکل ۲۳) همانطور که مشاهده می‌شود در ابتدای شروع تبلور مقدار منگنز به سرعت کم شده و با کم شدن نسبی تبلور کانیهای فرومیزین مقدار منگنز باقیمانده با سرعت بسیار کمتری وارد شبکه کانیها شده است.



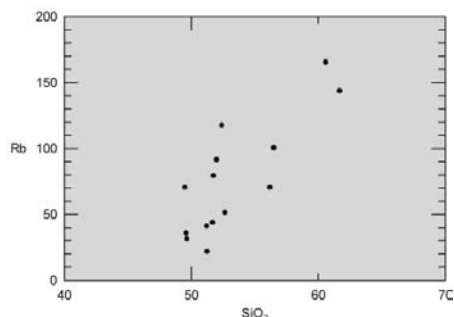
شکل ۲۳- نمودار هارکر منگنzer (بر حسب درصد وزنی) در برابر سیلیس.

بیشترین مقدار نسبت  $\text{Ni/SiO}_2$  در کانیهای حرارت بالا و مخصوصاً الیون دیده می‌شود و به تدریج با پیشرفت تفریق مقدار نیکل کم شده و شکل نیکل در برابر سیلیس پس از پایان تبلور این کانیهای حرارت بالا به شدت روند نزولی پیدا می‌کند (شکل ۲۴).

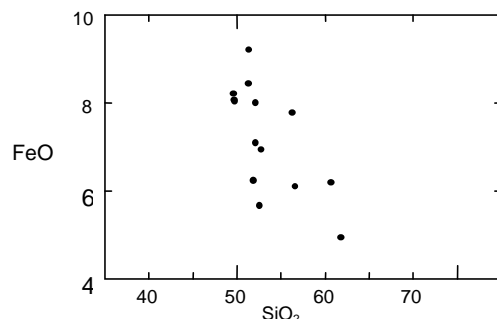


شکل ۲۴- نمودار هارکر نیکل (بر حسب درصد وزنی) در برابر سیلیس.

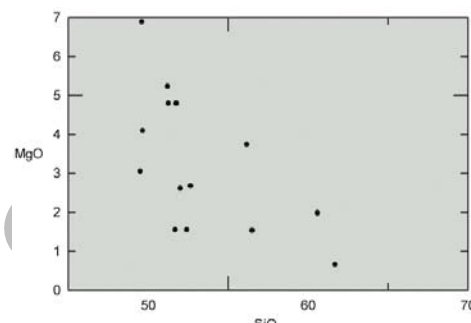
روبیدیم به صورت پذیرفته شده جانشین پتاسیم می‌شود و علت پذیرفته شده بودن آن شاعع یونی آن است که نسبت به پتاسیم کمی بزرگتر است و انتظار می‌رود که در طی مراحل آخر تفریق نسبت افزایش یابد که شکل ۲۵ کاملاً گویای این مطلب است.



شکل ۲۵- نمودار هارکر روبیدیم (بر حسب ppm) در برابر سیلیس.

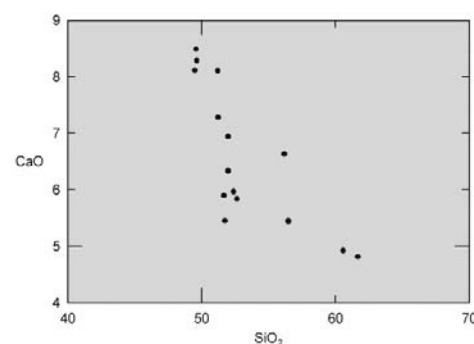


شکل ۲۰- نمودار هارکر آهن (Fe total) (بر حسب درصد وزنی) در برابر سیلیس.



شکل ۲۱- نمودار هارکر منیزیم (MgO) (بر حسب درصد وزنی) در برابر سیلیس.

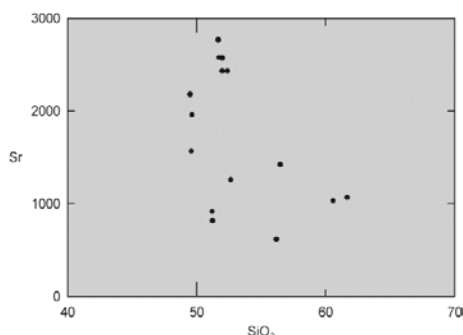
روند نزولی در نمودار کلسیم در برابر سیلیس (شکل ۲۲) به این دلیل است که، کلسیم عنصری است که وارد شبکه کلینوپیروکسنها و هورنبلند کلسیک و پلازیوکلازها و مخصوصاً پلازیوکلازهای کلسیک (که مقدار کلسیم نسبت به سدیم در ترکیب آنها بیشتر باشد) می‌شود و در نتیجه با افزایش مقدار  $\text{SiO}_2$  و پیشرفت روند تفریق مقدار آن نیز در مآگما کم می‌شود و روند نزولی می‌یابد.



شکل ۲۲- نمودار هارکر کلسیم (بر حسب درصد وزنی) در برابر سیلیس.

منگنز بطور کلی وارد شبکه کانیهای فرومیزین مثل پیروکسن و الیون شده و به صورت پذیرفته شده (به دلیل شاعع یونی بزرگتر منگنز نسبت به آهن دو ظرفیتی) تمرکز می‌یابد (مور و میسون، ۱۳۷۶). این عنصر جانشین آهن دو ظرفیتی می‌شود، اما یک افزایش نسبی، در نسبت منگنز به آهن ( $\text{Mn}/\text{Fe}^{2+}$ ) در مایعات تفریق یافته

تمرکز استرانسیم می‌باشد. در فلدسپات‌های پتاسیک و پلازیوکلازها در مراحل آخر تبلور نسبت استرانسیم بیشتری جذب می‌شود.



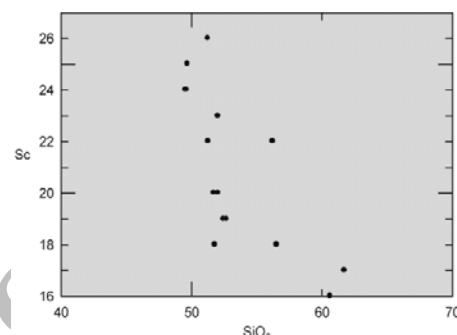
شکل ۲۷- نمودار هارکر استرانسیم(بر حسب ppm) در برابر سیلیس.

در نمونه‌های مورد مطالعه نسبت خاصی بین مقدار سیلیس و مقدار استرانسیم وجود ندارد (شکل ۲۷) که این امر را باید با آلایش پوسته‌ای ماقماً توجیه کرد. اما بطور کلی در سنگ‌های این منطقه به علت عدم حضور فلدسپات پتاسیک بیشترین تمرکز استرانسیم را در ساختمان پلازیوکلазها داشته و جانشین یون کلسیم شده است.

بطور کلی سنگ‌های پتاسیک به چهار دسته قابل تقسیم‌اند:  
۱-لامپروفیرها ۲- کامفوژیت‌ها ۳-گروه سنگ‌های TRANS  
۴-پلازیولوسیتیت‌ها

در ذیل خصوصیات کلی چهار گروه سنگی در جدول (۱) آمده است.

اسکاندیم عنصری است که از نظر شعاع یونی قربت بسیاری با آهن فرو دارد و در کانیهای فرومیزین بصورت اسیر شده (به علت بار یونی بیشتر) حضور می‌یابد. در نمودار مریوطه (شکل ۲۶) کاملاً واضح است که با افزایش مقدار سیلیس و پیشرفت روند تفریق در ابتدا با سرعت بسیار زیاد وارد شبکه کانیهای حرارت بالایی مثل پیروکسن شده و در ادامه با توجه به کم بودن مقدار بیوتیت و هورنبلند در نمونه‌های مطالعه شده با روند بسیار آرامتری این کاهش را ادامه داده است.



شکل ۲۶- نمودار هارکر اسکاندیم(بر حسب ppm) در برابر سیلیس.

استرانسیم از جمله عناصری است که معمولاً در شبکه کانیهای حاوی پتاسیم مثل فلدسپات‌های پتاسیک، به صورت تصرف شده (به علت دارا بودن بار بیشتر) جانشین پتاسیم شده و در ساختمان این بلورها تجمع می‌یابد. این یون در کانیهای حاوی کلسیم به صورت پذیرفته شده (به علت داشتن شعاع یونی بزرگتر) تجمع می‌یابد. در بین کانیهای کلسیک فلدسپات‌ها پلازیوکلاز مناسب ترین کانی برای

جدول ۱- مشخصات کلی گروههای اصلی سنگ‌های پتاسیک - Foley 1992

گروه III	گروه II	گروه I
پلازیولوسیتیت‌ها	کامفوژیت‌ها	لامپروفیرها
Mقدار ZnO <sub>3</sub> Mقدار کم TiO <sub>2</sub> Mقدار کم K <sub>2</sub> O/Al <sub>2</sub> O <sub>3</sub>	Mقدار CaO و Na <sub>2</sub> O <sub>3</sub> و Al <sub>2</sub> O <sub>3</sub> و مقدار ZnO <sub>3</sub> Mقدار کم SiO <sub>2</sub> (معمولًا بیشتر از ۴۵ wt.%) و مقدار متغیر K <sub>2</sub> O/Al <sub>2</sub> O <sub>3</sub>	Mقدار کم Al <sub>2</sub> O <sub>3</sub> , CaO, Na <sub>2</sub> O Mقدار ZnO <sub>3</sub> (معمولًا بیشتر از ۰/۷)
دارای آنومالی منفی Nb, Ta, Zr, Ba, Ti	در عناصر ناسازگار نسبتاً فاقد آنومالی خاص اند Nb, Ta, Zr مجموعاً آنومالی منفی از Sr وجود ندارد	Mقدار K <sub>2</sub> O/Al <sub>2</sub> O <sub>3</sub> متغیر و نسبت بی نهایت بالا Nb, Ta, Zr مجموعاً آنومالی منفی از Sr
Mقدار متوسط H <sub>2</sub> O Mقدار کم H <sub>2</sub> O و CO <sub>2</sub> و مقدار متوسط F	Mقدار ZnO <sub>3</sub> و H <sub>2</sub> O و مقدار F Mقدار ZnO <sub>3</sub> و H <sub>2</sub> O و مقدار F	Mقدار ZnO <sub>3</sub> و H <sub>2</sub> O و مقدار کم CO <sub>2</sub> بیشترین حد F (۰/۶-۰/۰ درصد وزنی)
مناطق برخورد	Rift قاره‌ای	مناطق کشش درون قاره‌ای (کشش با مقدار کم)
پطور غالباً پیروکسنتیت و لرزولیت و هارزبورزیت	پیروکسنتیت و گزنولیت‌های میکا دار بیشتر از	انواع تهی شده (دونیت، هارزبورزیت) بیشتر از انواع غنی شده (اسپینل لرزولیت)
Al <sub>2</sub> O <sub>3</sub> Mg-number (کمتر یا برابر با ۷۰)	SiO <sub>2</sub> Mقدار ZnO <sub>3</sub> احتمالاً منشاً اکسیده دارد	Ca, Al, Na و مقدار کم K/Al Mقدار Mg- number Mقدار متغیر SiO <sub>2</sub> (حدوداً بین ۵۳-۴۳ درصد وزنی) احتمالاً منشاً احیا
جایگاه تکتونیکی		
گزنولیت‌های اولترا مافیک		
خصوصیات ماغمای اولیه		

### پتروژن

با دقت در نتایج آنالیز سنگ‌های منطقه مورد مطالعه می‌توان دریافت که این سنگها در گروه پلازیولوسیتیت‌ها قرار می‌گیرند و به همین دلیل لازم است خصوصیات این گروه به تفصیل بررسی شود.

سنگ‌های این گروه دارای  $K_2O / Al_2O_3$  بین ۰/۳-۰/۵ می‌باشند

(Foley & Peccerillo 1992) که البته در منطقه مورد مطالعه این مقدار به دلیل اثر شدید دگرانی و تغییرات مقدار پتاسیم -کاهش پتاسیم و افزایش مقدار سدیم- از این حد کمتر می‌باشد. مقدار CaO,  $Al_2O_3$ ,  $Na_2O$  در آنها بالا بوده مقدار آلومینیوم بیشتر از ۱۲%wt می‌باشد. این سنگها از نظر مقدار  $TiO_2$  به دو گروه کم تیتانیم ( $TiO_2 < 1\%wt$ ) و تیتانیم بالا ( $TiO_2 > 1\%wt$ ) تقسیم پذیرند سنگ‌های گروه کم تیتانیم از ذوب گوشه غنی از فلوگوپیت و پیروکسن ایجاد می‌شوند، اما سنگ‌های گروه پر تیتانیم از گوشه فلوگوپیت دار منشا می‌گیرند، ولی درصد ذوب در این گوشه خیلی کم است. و چون هر دوی اینها منشا گوشه فلوگوپیت دار دارند باید در عمق کمتر از ۲۵۰ کیلومتری که فلوگوپیت پایدار است تشکیل شوند.

مشابهت عناصر کمیاب در سنگ‌های کم تیتانیم این گروه به مagmaهایی که ارتباط آنها با فرورانش محرز می‌باشد، باعث شده که بسیاری از دانشمندان بر تاثیر فرورانش و دخالت رسوبات اقیانوسی فرورانده شده به درون گوشه، اعتقاد داشته باشند و بیان کرده‌اند که حدود ۳٪ از این رسوبات در ژئو این magmaها دخیل بوده اند (Roger 1992).

طبق آنچه که در بخش رئوشیمی عنوان شده است، می‌توانیم همه انواع سنگ‌های منطقه شمال‌غرب مشکین شهر (دارای لوسيت و فاقد لوسيت) را به یک منشا ژئوگرافیک مشترک نسبت بدهیم.

### موقعیت تکتونیکی بروز این نوع magmaتیسم

طبق نظر تامپسون (Tompson 1984) و فولی (Foley 1992) بطور کلی سه موقعیت زئوپینامیکی برای ظهور محصولات magmaتیسم پتاسیک مناسب و شناخته شده است:

۱- magmaهای اولتراتپاتاسیکی که در طی یا بعد از تصادم قاره‌ای (Postcollosion) رخ می‌دهد، که به دنبال بسته شدن حوضه اقیانوسی اتفاق می‌افتد. بین بسته شدن حوضه اقیانوسی و فاز شروع مرحله ولکانیسم آلکالن داخل صفحه‌ای امکان دارد دهها تا میلیونها سال فاصله بیافتد که این زمان فرصت مناسبی برای رخداد magmaهای پتاسیک می‌باشد. در این موقعیت تکتونیکی سنگ‌های پتاسیک معمولاً مقدار عناصر Ce, Zr, Sr بسیار بالا است.

۲- magmaتیسم پتاسیک بندرت در برخی مناطق سایداکشن فعال مثل

با استفاده از نتایج آنالیز ۱۵ نمونه (جداول ضمیمه ۱ و ۲) و انجام مطالعات رئوشیمیابی و طبق تعریف فولی سنگ‌های این منطقه جزو گروه پلازیولوسیتیت‌ها هستند. چرا که مقدار پلازیولوسیت و لوسيت در این سنگها از هر کانی دیگری بیشتر است. در ثانی مقدار  $Na_2O$ ,  $Al_2O_3$ , CaO در آنها بالا بوده و نسبت  $K_2O / Al_2O_3$  در آنها بین ۰/۳-۰/۰۵ قرار دارد (Conticelli & Peccerillo 1992) و (Foley et al. 1992).

پلازیولوسیتیت‌ها به دو دسته Low-Ti و High-Ti تقسیم می‌شوند. اگر در سنگی مقدار تیتانیم بیشتر از ۱ درصد وزنی باشد آن را پر تیتانیم و اگر کمتر از ۱ درصد وزنی باشد آن را در گروه کم تیتانیم قرار می‌دهند و با این توصیف سنگ‌های این منطقه جزو گروه کم تیتانیم خواهند بود که بطور قطع در ارتباط با پدیده فرورانش هستند (Roger 1992).

کلیه سنگ‌های پتاسیک این منطقه از عناصر LILE (Large Ion Lithophile Elements) غنی شدگی و از عناصر HFSE (High Field Strength Elements) تهی شدگی نسبی نشان می‌دهند. این حالت که در کلیه سنگ‌های پلازیولوسیتیت قابل اندازه‌گیری است، ارتباط نزدیکی با پدیده فرورانش دارد و این امر را به صورت زیر می‌توان توجیه کرد:

عناصر HFSE دارای بار الکتریکی بالا بوده و شعاع اتمی آنها نیز کوچک است لذا تمایل چندانی برای ورود به فاز مایع ندارند. حال آنکه عناصر LILE چون دارای شعاع اتمی بزرگ هستند به سادگی در طی آبزدایی (Dehydration) وارد فاز مایع می‌شوند. پس وقتی پوسته اقیانوسی فرورونده دچار آبزدایی شود سیالی تولید می‌شود که غنی از عناصر LILE بوده و لذا این مایع می‌تواند موجب متاسوماتیسم گوشه‌های شود که در زیر این پوسته قرار گرفته است و عناصر HFSE هم که وارد فاز مایع نشده‌اند در همان نهشته‌ها باقیمانده تجمع می‌کنند.

گروه سنگ‌های پلازیولوسیتیت خود به چهار گروه زیر قابل تقسیم است (Foley 1992)

۱- گروه سنگ‌های پتاسیک از تراکیت تا تراکی بازالت

۲- گروه اولتراتپاتاسیک‌ها که از لوسيت تفریت تا لوسيت فنولیت را شامل می‌شود.

۳- گروه سوم اولترا پتاسیکهای ملیلیت، کالسیلیت و لوسيت دار است.

۴- گروه چهارم شامل منیت می‌باشد. که انواع سنگ‌های بدون لوسيت را که قبل از بخش پتروگرافی معرفی نمودیم، در گروه ۱ و انواع لوسيت دار در گروه ۲ و خود لوسيتیت‌ها در گروه ۳ جای می‌گیرند.

موید این است که بخشی از عنصر این ماگما محصول ذوب رسوبات پوسته اقیانوسی فرورونده هستند.

سنگ‌های منطقه مورد مطالعه نیز از ذوب گوشه‌های غنی از فلوگوپیت و پیروکسن ایجاد شده‌اند، در واقع در ایران در تریاس بالایی اقیانوس پالئوتیس که به حداقل وسعت خود می‌رسد. از این زمان به بعد این صفحه اقیانوسی شروع به فروزانش کرده و در کرتاسه بالایی و یا شاید دیرتر کاملاً بسته می‌شود. البته از این زمان – یعنی کرتاسه بالایی – به بعد به سبب شکسته شدن پوسته اقیانوسی نئوتیس عمل فروزانش متوقف شده و نظام کلاسیک آن بهم خورده است. شکسته شدن پوسته اقیانوسی و توقف آن موجب می‌شود تا ایزوترم‌های دور گرفته از سطح بالایی پوسته اقیانوسی کم کم به حالت عادی برگردند و دوباره تعادل حرارتی در گوشه و در پوسته اقیانوسی متوقف شده برقرار گردد (معین وزیری ۱۳۸۳).

گوشه‌های که در اثر فروزانش صفحه اقیانوسی به زیر صفحه ایران دچار متاسوماتیسم شده و در آن فلوگوپیت تشکیل شده که این فلوگوپیت در خود مقدار بسیار زیادی از پتاسیم و عنصر کمیاب را متمرکز می‌کند و پس از ذوب می‌تواند مایعی را با خصوصیات مگمایی مولد نمونه سنگ‌های مورد مطالعه ایجاد کند. چون مگمایی تولید شده باید در مسیر رسیدن به سطح از لایه ضخیمی از پوسته عبور کند بنابراین آغشتگی در آن غیر قابل اجتناب بوده و بالا بودن مقدار عنصر استرانسیم بازترین مشخصه این پدیده می‌باشد.

### نتیجه گیری

با نگاهی به کلیه این مطالب می‌توان به این نتیجه رسید که سنگ‌های منطقه شمال غرب مشکین شهر دارای ماهیت آلکالن، و ترکیب شیمیایی بازیک تا اولترا بازیک می‌باشند. خصوصیات پتروگرافی و ژئوشیمیایی آنها را در گروه سنگ‌های پتاسیک قرار می‌دهد. این سنگ‌ها در طبیعت بسیار کم بروزد دارند و محدود به مناطقی هستند که از نظر تکتونوماگمایی خصوصیات خاصی دارند. در منطقه مورد مطالعه این سنگها بصورت خروجی ظهور یافته‌اند و در فاصله‌ای دورتر (در نزدیکی شهر کلیبر) بصورت توده‌های نفوذی نفلین سینینیت و در فاصله بیشتری (نزدیکی دریاچه ارومیه) در جزیره سارای به صورت خروجی حضور دارند. علیرغم مطالعات کمی که روی این گروه سنگی انجام گرفته است، لیکن با شواهدی که از مطالعات سایر کشورها وجود دارد می‌توان پدیده فروزانش را در این منطقه پدیده‌ای نزدیک به واقعیت دانست. چنانکه با فروافتادن صفحه عربستان به زیر صفحه ایران و رود آن به داخل گوشه سیالات و مخصوصاً آب از آن جدا می‌شود، این سیالات موجب متاسوماتیزاسیون گوشه‌های مجاور شده و گوشه‌ای غنی از فلوگوپیت را ایجاد می‌کنند. چون فلوگوپیت کانی است که

جزیره سوندا در اندونزی دیده شده است. در این مناطق معمولاً همراهی نزدیکی با ماگماهای کالکوآلکالن و شوشوونیتی نیز وجود دارد. ۳- ماگماتیسم آلکالن پتاسیک و اولترا پتاسیک بصورت بسیار نادر در مناطق در حال کشش درون قاره‌ای گزارش شده است، که مشخصه سنگ‌های پتاسیک این مناطق داشتن غلظت بالایی از عنصر LILE (Rb, Sr, Ba), LREE (La, Ce, Sm) می‌باشد. مقدار منیزیم بیشتر از  $6/3$  درصد وزنی است و  $TiO_2$  بیشتر از  $4$  درصد وزنی می‌باشد و از عنصر گوشه (Co $>59$  ppm, Cr $>1158$  ppm) غنی هستند.

معروفترین منطقه‌ای که چنین موقعیت ژئودینامیکی دارد و سنگ‌های پتاسیک در آن شناخته شده‌اند، ریفت شرق آفریقاست که در جنوب غرب اوگاندا این نوع ماگماتیسم مطالعه شده است.

در میان سه موقعیتی که ذکر گردید و کلیه خصوصیات دیگری که عنوان گردید باید منطقه مورد مطالعه را در موقعیت تکتونیکی اول قرار داد چرا که با فروزانش صفحه عربستان به زیر ایران و بسته شدن اقیانوس نئوتیس این موقعیت شکل گرفته و با تصادم صفحات ایران و عربستان این ولکانیسم در منطقه شکل گرفته است.

این نظریه توسط نتایج آنالیزی که در مورد دو گروه که یکی مربوط به منطقه ریفتی و دیگری مربوط به منطقه فروزانش است و مقایسه آن با نتایج آنالیز سنگ‌های منطقه مورد مطالعه روشن کننده این مطلب است که ترکیب نمونه‌های منطقه شمال غرب مشکین شهر بیشتر به ترکیب سنگ‌های مناطق فروزانش نزدیک است.

ذوب زیر ۵٪ گوشه فلوگوپیت دار در عمق کمتر از ۲۵۰ کیلومتر (عمقی که فلوگوپیت می‌تواند در آن پایدار باشد) می‌تواند ماگمایی غنی از پتاسیم تولید کند که غنی شدگی مناسبی نیز از عنصر ناسازگار داشته باشد. علت اینکه در آنالیزهای منطقه شمال‌غرب مشکین شهر مقدار منیزیم خیلی زیاد نیست، منشا دو رگهای است که باید برای این مگما در نظر بگیریم. یعنی اگر بخش اعظم ماگمای اولیه حاصل ذوب گوشه پریدوتیتی می‌بود مقدار عنصر گوشه‌ای نیز بالا می‌رفت، در حالیکه چون در تشکیل این مگما سهم زیادی به ذوب پوسته فرورونده اختصاص داشته است مقدار این عنصر کمتر می‌باشد. این نظریه از بسیاری جهات قابل تایید می‌باشد چرا که فلوگوپیت کانی است که می‌تواند در ساختمان خود مقدار بسیار زیادی عنصر کمیاب را متمرکز کند و نیز آثار حضور این کانی در انکلاوهای برخی مناطق که حاوی سنگ‌های پتاسیک هستند مشاهده شده است. البته در مطالعاتی که راجرز روی ایزوتوپهای استرانسیم انجام داده است مشخص گردید که منشا پتاسیم موجود در این سنگها رسوبی است و این رسوبات همان رسوباتی هستند که توسط ورقه فرورونده وارد گوشه شده‌اند. کم بودن مقدار تیتانیم و نیز کم بودن مقدار Nb خود

می‌تواند مقادیر بسیار زیادی از عناصر ناسازگار را در خود جمع کند، زیاد از عناصر LILE می‌باشد که این ماقماً پس از سرد شدن بنابراین با ذوب این گوشه‌غنى از فلوگوپیت، ماقمایی تولید شده که سنگ‌های پتاسیک را در منطقه ایجاد کرده‌اند. غنى از پتاسیم، اشباع تا تحت اشباع از سیلیس و حاوی مقادیر بسیار

### منابع

- خلیلی مرندی ش. ۱۳۷۰: جینه شناسی، پتروگرافی و پترولوژی آتشفسان آلکالن پتاسیک سارای. بایان نامه کارشناسی ارشد، دانشگاه تربیت معلم تهران. ۱۶۰ ص.
- باباخانی ع. ۱۳۶۰: پتروگرافی و ژئوشیمی نفلین سینیت های شمال آذربایجان. پایان نامه کارشناسی ارشد، دانشگاه تهران. ۱۳۵ ص.
- درویش زاده ع. ۱۳۷۰: زمین شناسی ایران. انتشارات امیر کبیر. ۹۰۱ ص.
- کریم پور م. ۱۳۸۰: زمین شناسی اقتصادی کاربردی. انتشارات دانشگاه فردوسی مشهد. ۵۳۶ ص.
- معین وزیری ح. ۱۳۷۵: دیباچه ای بر ماقماتیسم ایران. انتشارات دانشگاه تربیت معلم. ۴۴۰ ص.
- معین وزیری ح. ۱۳۸۳: چند نقطه عطف در تاریخچه تکتونو ماقمایی ایران. فصلنامه علوم زمین، شماره ۴۹ و ۵۰، بهار ۱۳۸۳. ص ۳۲-۴۰.
- مور ک، میسون ب. ۱۳۷۶: اصول ژئوشیمی. انتشارات دانشگاه شیراز. ترجمه مُف. و شرفی ع. ۵۱۰ ص.
- Conticelli S., Peccerillo A. 1992: Petrology and geochemistry of potassic and ultrapotassic volcanism in central Italy. *Lithos*. **28**: 221-240.
- Dana J.D. 1971: Manual of mineralogy. John Wiley and sons. New York.
- Foley S. 1992: Petrologic characterization of the source comments of potassic magmas, geochemical and experimental constraints. *Lithos*. **28**: 187-204.
- Foley S., Peccerillo A. 1992: Potassic and ultrapotassic magmas and their origin. *Lithos*. **28**: 181-186.
- Foley S., Venturelli G., Green D.H., Toscani L. 1987: ultrapotassic rocks: characteristics classification and constraints for petrogenetic models. *Earth Science Reviews*. **24**: 81-134.
- Irvin T.N., Baragar W.R.A. 1971: a guide to the chemical classification of the common volcanic rocks. *Earth science*. **8**: 523-548
- LeMaitre R.W., Bateman P., Dudek A., Keller J., Lameyer Le Bas Mj., Sabine Pn., Schmid R., Sorensen, Streckeisen A., Wooly AR., Zanettin B. 1989: A classification of igneous rocks and glossary of terms. Blackwell and Oxford.
- Roger N.W. 1992: Potassic magmatism as a key to trace element enrichment processes in the upper mantle. *Volcanology and geothermal research*: **50**: 85-99.
- Thompson R.N. 1984: Source of Ugandan ultrapotassic magmas. *Geol*. **93**: 549-590.

## ضمائی

جدول ضمیمه ۱- نتایج آنالیز عناصر اصلی سنگهای منطقه شمال غرب مشکین شهر.

Number	Sample Name	SiO <sub>2</sub>	Na <sub>2</sub> O	K <sub>2</sub> O	MgO	FeO <sub>t</sub>	FeO	Fe <sub>2</sub> O <sub>3</sub>	CaO	P <sub>2</sub> O <sub>5</sub>	MnO	Al <sub>2</sub> O <sub>3</sub>	TiO <sub>2</sub>	L.O.I	Total
۱	S-82/A1	۶۰/۶۴	۴/۱۶	۲/۲۵	۱/۹۶	۶/۲۰	۲/۲۲	۲/۹۸	۴/۹۱	۰/۲۲	۰/۰۲	۱۶/۳۸	۰/۵۱۴	۲/۱۳۹	۹۷/۸۵
۲	S-82/A11	۶۱/۷۵	۴/۰۱	۴/۱۶	۰/۶۴	۴/۹۵	۲/۱۴۸	۲/۴۷	۴/۸۰	۰/۳۶	۰/۰۴	۱۶/۷۲	۰/۷۶۰	۲/۲۷۰	۹۷/۴۳
۳	S-82/A12	۴۹/۷۳	۴/۱۸	۲/۹۸	۴/۰۷	۸/۰۴	۴/۶۵	۳/۵۵	۸/۲۷	۰/۶۴	۰/۱۷	۱۷/۶۲	۰/۷۲۸	۳/۲۸۹	۹۶/۳۴
۴	S-82/A13	۴۹/۶۶	۳/۴۵	۲/۴۹	۶/۱۸۷	۸/۰۷	۴/۶۸	۳/۳۹	۸/۴۷	۰/۸۲	۰/۲۰	۱۵/۵۸	۰/۹۲۲	۳/۰۳۹	۹۶/۶۱
۵	S-82/A3	۴۹/۵۶	۴/۶۶	۲/۰۷	۳/۰۳	۸/۲۱	۴/۶۸	۳/۵۳	۸/۱۰	۰/۶۴	۰/۱۷	۱۸/۷۶	۰/۷۴۷	۳/۴۶۹	۹۶/۲۰
۶	S-82/AG8	۵۲/۰۷	۳/۸۶	۲/۱۱	۲/۶۰	۸/۰۱	۴/۴۹	۳/۵۲	۶/۳۲	۰/۴۰	۰/۱۹	۱۷/۳۸	۰/۶۹۸	۶/۰۵	۹۳/۹۴
۷	S-82/M10	۵۲/۰۷	۴/۱۵	۴/۲۲	۲/۵۹	۷/۱۰	۳/۱۸۳	۳/۲۴	۶/۹۲	۰/۵۸	۰/۲۳	۱۸/۱۵	۰/۹۲۴	۴/۴۶۹	۹۶/۲۰
۸	S-82/M14	۵۶/۲۴	۳/۶۰	۲/۱۰	۳/۷۲	۷/۷۹	۴/۳۶	۳/۴۳	۶/۶۲	۰/۲۷	۰/۲۵	۱۶/۷۵	۰/۷۰۳	۲/۰۷۰	۹۸/۰۴
۹	S-82/M22	۵۲/۷۰	۵/۴۳	۲/۶۵	۲/۶۵	۶/۹۵	۳/۶۵	۳/۳	۵/۸۲	۰/۴۷	۰/۰۷	۱۹/۱۸	۰/۶۲۴	۲/۱۸۱	۹۶/۹۰
۱۰	S-82/M4	۵۱/۲۷	۴/۷۹	۲/۱۸۶	۵/۲۱	۸/۴۴	۴/۵۶	۳/۸۸	۸/۰۹	۰/۳۸	۰/۱۷	۱۴/۳۲	۰/۴۱۴	۴/۱۷۹	۹۶/۵۳
۱۱	S-82/M5	۵۱/۳۲	۶/۱۱	۲/۱۲۸	۴/۷۸	۹/۲۲	۵/۰۳	۴/۱۹	۷/۲۷	۰/۳۹	۰/۱۵	۱۵/۳۲	۰/۴۲۸	۳/۰۴۹	۹۶/۹۳
۱۲	S-82/M7	۵۱/۷۶	۶/۱۸۰	۴/۴۸	۱/۰۳	۵/۶۷	۲/۱۷۲	۲/۹۵	۵/۸۸	۰/۳۷	۰/۲۲	۱۹/۶۹	۰/۳۹۰	۴/۰۱۹	۹۶/۴۲
۱۳	S-82/M9	۵۱/۸۲	۷/۵۳	۱/۷۶	۱/۱۹	۶/۲۴	۳/۱۸	۳/۰۶	۵/۴۴	۰/۳۸	۰/۲۸	۱۹/۴۷	۰/۴۵۴	۵/۰۴۹	۹۴/۷۰
۱۴	S-82/ND	۵۲/۴۸	۵/۹۲	۴/۲۹	۱/۶۶	۵/۲۱	۲/۵۵	۲/۶۶	۵/۹۵	۰/۳۶	۰/۲۱	۱۹/۷۴	۰/۳۴۲	۴/۲۷۰	۹۵/۸۲
۱۵	S-82/Y5	۵۶/۵۶	۴/۷۳	۲/۱۸۶	۱/۰۱	۶/۱۱	۳/۱۲	۲/۹۹	۵/۴۳	۰/۴۱	۰/۰۳	۱۸/۴۰	۰/۶۱۸	۳/۰۱۰	۹۷/۰۲

جدول ضمیمه ۲- نتایج آنالیز عناصر کمیاب سنگهای منطقه شمال غرب مشکین شهر.

Number	Sample Name	Rb	Sc	Sm	Sr	Tb	Y	Yb	Ta	Ba	Ce	Cr	Cs	Eu	Hf	La	Nb	Zr	Ni
۱	S-82/A1	۱۶۵	۱۶	۷	۱۰۲۴	۰	۳۸	۲	۴	۹۱۶	۷۵	۴۸	۰	۱	۵	۶۲	۴۰	۲۶۱	۱۳
۲	S-82/A11	۱۴۳	۱۷	-	۱۰۶۰	-	۲۱	۵	-	۲۵۹	۳۹	-	-	-	۷۷	-	۳۲۴	۲	
۳	S-82/A12	۲۱	۲۵	۱۱	۱۹۴۹	۱	۲۷	۲	۱۱	۱۳۲۴	۱۰۱	۳۱	۱	۲	۶	۹۷	۳۸	۳۸۷	۱۰
۴	S-82/A13	۳۵	۲۴	۱۰	۱۵۶۰	۱	۲۵	۲	۵	۴۹۹۲	۲۸۰	۲۴۸	۱	۳	۷	۹۵	۴۱	۳۹۷	۵۲
۵	S-82/A3	۷۰	۲۴	۸	۲۱۷۰	۱	۲۳	۲	۶	۱۱۵۷	۹۵	۸	۰	۲	۶	۱۰۷	۳۲	۴۰۱	.
۶	S-82/AG8	۹۱	۲۰	۹	۲۵۶۳	۱	۲۳	۲	۳	۱۳۷۵	۱۰۰	۵	۱	۲	۷	۸۲	۲۵	۴۰۴	۱۴
۷	S-82/M10	۹۱	۲۳	۱	۲۴۲۳	۱	۲۲	۲	۹	۱۳۶۱	۹۴	۱۷	۰	۲	۷	۵۱	۷	۳۶۸	۱۰
۸	S-82/M14	۷۰	۲۲	۵	۶۰۹	۱	۲۹	۲	۲	۷۶۶	۶۴	۲۹	۲	۴	۶	۶۲	۲۰	۲۲۱	۳
۹	S-82/M22	۵۱	۱۹	۷	۱۲۵۰	۱	۲۹	۲	۶	۸۰۷	۷۳	۱۰	۰	۲	۶	۹۳	۴۴	۳۴۷	۱۳
۱۰	S-82/M4	۴۱	۲۶	۴	۹۰۵	۱	۲۱	۲	۱۹	۱۶۲۳	۱۰۶	۱۰۵	۰	۲	۴	۱۷	۰	۱۶۸	۱۹
۱۱	S-82/M5	۲۱	۲۲	۴	۸۰۸	۱	۲۲	۲	۸	۱۳۳۹	۹۱	۵۲	۰	۲	۳	۲۸	۳	۱۵۳	۱۹
۱۲	S-82/M7	۴۳	۲۰	۲	۲۷۶۰	۰	۲۵	۲	۱۰	۱۷۵۴	۱۱۲	۱۵	۱	۲	۸	۵۱	۸	۳۹۷	۲۰
۱۳	S-82/M9	۷۹	۱۸	۳	۲۵۷۰	۱	۲۱	۲	۷	۱۷۳۳	۱۲۲	۷	۱	۴	۶	۵۸	۱۴	۳۸۵	۷
۱۴	S-82/ND	۱۱۷	۱۹	۹	۲۴۲۱	۰	۲۳	۲	۱۱	۱۶۹۸	۱۱۶	۱۵	۰	۲	۷	۴۹	۱۲	۳۶۰	۲۸
۱۵	S-82/Y5	۱۰۰	۱۸	۵	۱۴۱۶	۰	۲۵	۲	۰	۱۲۲۶	۹۸	۱۲	۱	۱	۶	۹۲	۴۷	۳۳۶	۱۹